

# TECHNIKA CIEPLNA

CZASOPISMO STOWARZYSZENIA DOZORU KOTŁÓW W WARSZAWIE

OFICJALNY ORGAN POLSKIEGO KOMITETU NORMALIZACYJNEGO DLA SPRAW KOTŁOWYCH

REDAKTOR: Inż. techn. JAN KOMARNICKI

W y d a w c a: Stowarzyszenie Dozoru Kotłów w Warszawie.

REDAKCJA I ADMINISTRACJA: WARSZAWA, PIĘKNA 32, m. 12. TEL. 8-81-47.

GODZINY BIUROWE: REDAKCJI—PIĄTKI, OD 18 DO 20, ADMINISTRACJI—CODZIENNIE, OD 10 DO 15.

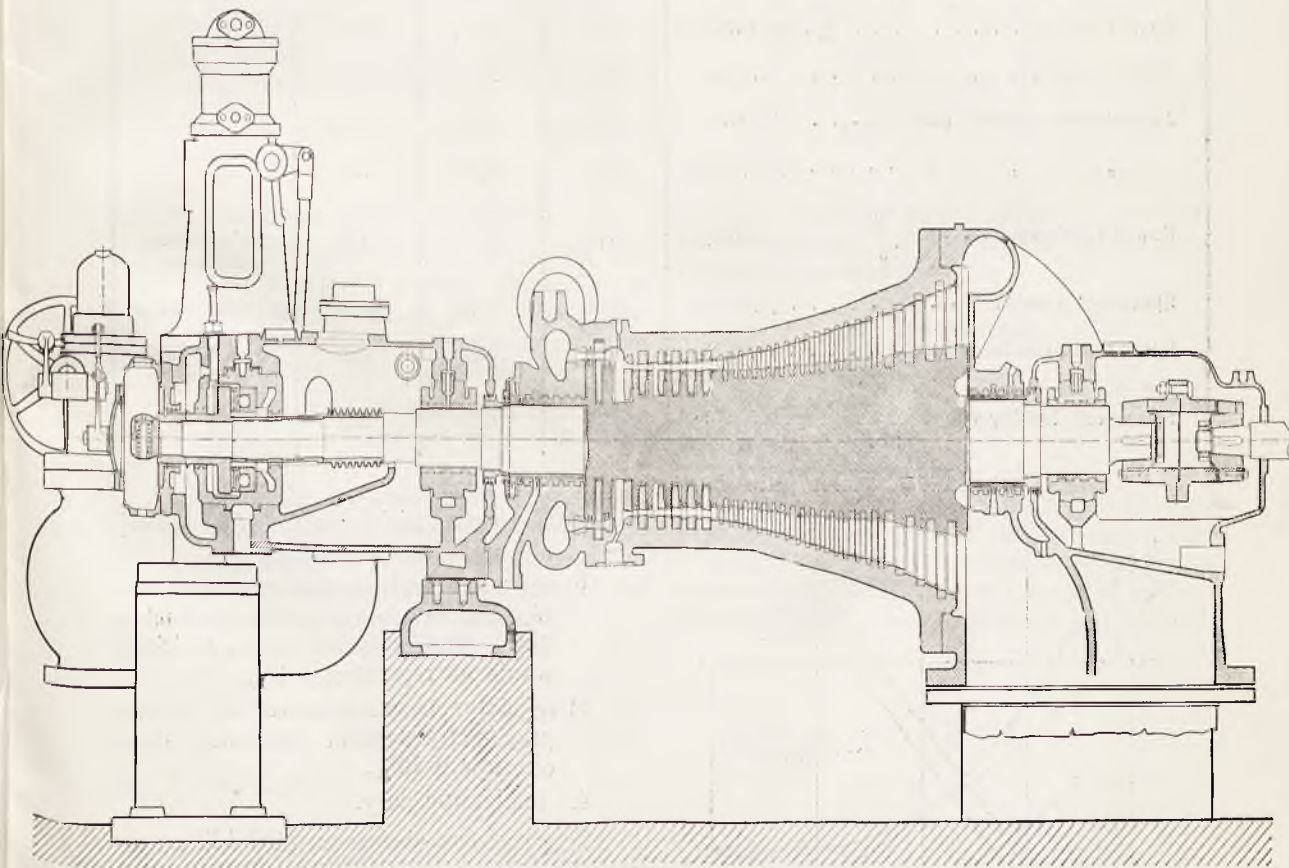
Inż. WŁ. ROKITOWSKI.

## ODBIÓR GWARANCYJNY TURBINY PAROWEJ

W lutym 1930 r. został przeprowadzony, przez Stowarzyszenie Dozoru Kotłów w Warszawie, odbiór turbiny parowej, ustawionej w jednej z odlewni w Małopolsce zachodniej.

750, obr/min. 6000, ciśn. dol. pary 15 ata, temperatura pary 325° C.

Cylinder turbiny posiada dwa króćce, przez które przy pełnym obciążeniu można



Rys. 1

### I. Opis turbogenerатора.

Turbina parowa, której schemat jest przedstawiony na rys. 1., była typu Berneńskiego, rok budowy 1929, Nr. 769, moc *KMe*

pobierać jednocześnie do 500 *kg* pary na godz. o ciśnieniu około 7 i 4.8 ata.

Turbina napędzana przez przekładnię zębata, (6000:1000) konstrukcji Zakładów Witekowskich, generator prądu trójfazowego fir-

my Österreichische Siemens-Schuckert Werke, Nr. 185019, o mocy nominalnej 715 kVA (cos  $\varphi = 0.7$ ) 250 V, 50 okr/sek, 1000 obr/min.

## II. Przyrządy pomiarowe i sposób mierzenia.

1. Pomiar mocy wykonano metodą dwóch dokładnych watomierzy.
2. Zużycie pary, przez ważenie kondensatu z jednoczesną kontrolą zapomocą dyszy.
3. Obroty badano tachometrem.
4. Temperatury, dokładnymi termometrami rtęciowymi.

5. Próżnię, bezwzględny próżniomierzem rtęciowym.

6. Ciśnienie, manometrem kontrolnym.

## III. Gwarancje udzielone przez dostawcę.

1. Moc turbiny, względnie agregatu ma wynosić:

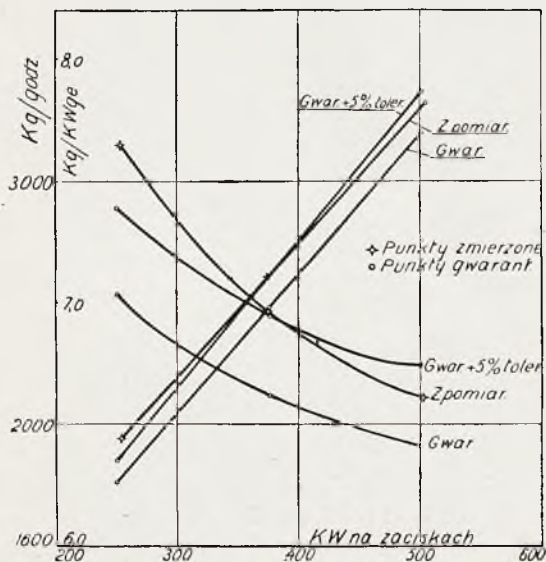
a) maksymalna trwała na zaciskach gener. 500kW.

b) przeciążenie 15 minutowe 600kW.

2. Gwarancje dostawcy co do zużycia pary są zebrane na tabeli I.

TABELA I.

Obciążenie na zaciskach gener. w kW, dla cos $\varphi = 1$ i 250 V	500	375	250	U w a g i
Para dolotowa: ciśnienie . . . . . ata	15	15	15	
temperatura . . . . . °C	325	325	325	
Próżnia w kondensatorze, dla 15° C wody chłodzącej . . . . . ata	0,053	0,042	0,034	
Spadek adjabat . . . . . $\Delta i$ gw kal/kg	227	233	239	
Zużycie pary . . . . . kg/h	3210	2479	1758	
Jednostkowe zużycie pary . . . . . Gkg/kW/h	6,41	6,61	7,03	
" " " . . . . . + 5% tol	6,74	6,95	7,39	
Straty wylotowe . . . . . $\frac{Ac^2 gw}{2g}$ kal/kg	2,0	2,0	1,6	podane przez dostawcę
Sprawność generatora . . . . . $\eta_{gen}$ %	93,4	93,0	91,6	podana w gwarancji
Sprawność przekładni zębatej . . . . . $\eta_p$ %	96,0	95,2	93,6	podana przez dostawcę
Sprawność turbiny $\eta_{gw} = \frac{860}{G \cdot \Delta i \cdot gw \cdot \eta_{gen} \cdot \eta_p}$ %	65,9	63,0	59,8	



Rys. 2

## 3. Regulacja.

a) całkowita niejednostajność regulacji nie może przekraczać 5%,

b) dla równoległego łączenia generatorów możliwa będzie zmiana normalnej ilości obrotów (przez ręczne oddziaływanie na regulator) o 3%,

c) regulator bezpieczeństwa ma działać przy przekroczeniu normalnej ilości obrotów o 10%.

## 4. Pobieranie pary.

Przy pełnym obciążeniu (500 kW na zaciskach) można będzie pobierać z turbiny jednocześnie:

pary o ciśnieniu 7 ata do 500 kg/h  
i pary „ 4,8 ata do 500 kg/h

## IV. Wyniki otrzymane z pomiarów.

1. Turbogenerator rozwija gwarantowa-

na trwałą moc 500 kW i daje się przeciążyć w ciągu 15 minut do 650 kW.

2. Zużycie pary jest zebrane w tabeli II, oraz przedstawione graficznie na rysunku 2.

T A B E L A II.

Obciążenie na zaciskach gen. dla $\cos \varphi = 1$ i 225 V	502	374	254	U w a g i
Para dolotowa: ciśnienie . . . . . ata	14,8	14,9	15,1	
temperatura . . . . . °C	314	304	293	
Próżnia w kondensatorze . . . . . ata	0,036	0,029	0,023	
Spadek adjab. . . . . $\Delta i$ zm kal/kg	235	238	241	
Kondensat . . . . . kg/h	3310	2630	2010	
Jednostkowe zużycie pary . . . . . Gkg/kWh	6,58	7,04	7,92	
Poprawka sprawności w zależności od temper. pary dolotowej . . . . . $\delta$	0,995	0,990	0,984	podana przez dost.
Sprawność termodyn. . . . . $\eta_{gtw} \cdot \delta$	65,3	62,4	58,8	
Straty wylotowe . . . . . $\frac{Ac^2}{2g}$ kal/kg	5,6	5,5	5,2	podane przez dost.
Jednostkowe zużycie pary przeliczone na warunki gwarantowane . . . . . $G_{ef}$ kg/kWh	6,60	6,96	7,65	
Różnica między rzeczywistym (przeliczonym) a gwarantowanym zużyciem pary . . kg/kWh	-0,14	+0,01	+0,26	
Przekroczenie średnio . . . . . kg/kWh		+ 0,04		

3. Regulacja działa bez zarzutu:

- przy odciążeniu z 520 kW na 400 kW obroty wzrosły z 6025 chwilowo na 6040, trwale zaś na 6030. Kompletnego badania ze względów ruchowych nie można było przeprowadzić.
- przez ręczne oddziaływanie na regulator można zmienić normalne obroty o  $\pm 3\%$ ,
- regulator bezpieczeństwa przy pierwszych próbach zawiódł; po oczyszczeniu, kontrola jego działania dała wynik pomyślny. Regulator odcinał dopływ pary przy 6520 obr/min.

4. Z turbiny można pobierać, przy pełnym obciążeniu, nawet większą ilość pary, niż podaje gwarancja.

### V. Wnioski ogólne.

Gwarancje zostały dotrzymane z wyjątkiem zużycia pary, które zostało przekroczone średnio 0.04 kg/kWh

Denko kondensatora, znajdujące się od strony generatora, nie daje się swobodnie otwierać, co ze względów ruchowych jest niedopuszczalne. Również szkło wodowskazowe kondensatora umieszczone zostało w miejscu niedostępnym i mało widocznym dla obsługi.

Inż. T. WRÓBLEWSKI.

## ODPAROWALNOŚĆ KOTŁÓW SEKCYJNYCH

W roku 1931 Stowarzyszenie Dozoru Kotłów w Warszawie miało możliwość przeprowadzenia badań odparowalności nad dwoma nowymi instalacjami kotłowymi o zbliżonej konstrukcji. Instalacje były dostarczane przez

jedną z firm krajowych. Załączony rys. 1 przedstawia układ instalacji, tablica zaś zawiera zestawienie wyników osiągniętych w czasie badań. Obie instalacje zaopatrzone są w podgrzewacze żeberkowe i w przegrze-

wacze; instalacja I posiada regulator temperatury pary przegrzanej.

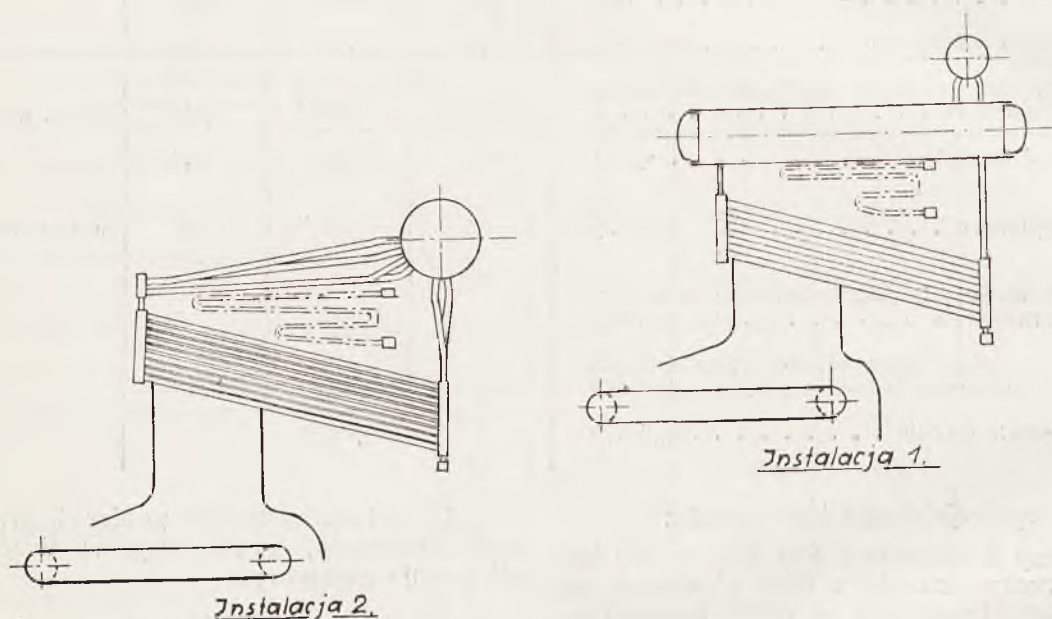
Instalacja I pracuje z exhaustorem na krótki komin żelazny; instalacja druga na komin mурowany. Jak widać z rysunku instalacje różnią się między sobą układem walczaków; wielkość komór paleniskowych i ich układ są prawie jednakowe, obie mają jednakowe przednie wiszące sklepienie.

Układ przegrzewacza i podgrzewacza w stosunku do powierzchni kotłowej jednakowy.

Podkreślić należy, że średnia wysokość komory paleniskowej odbiega znacznie od

na zgoła cieknąć. W obu omawianych instalacjach zjawisko to powstaje w mniejszym lub większym stopniu. Zapobiec temu po części mogą małe szybkości gazów w komorze a więc duży przekrój (porywanie szlaki) oraz palenie z większym nadmiarem powietrza; radykalnym zaś sposobem lecz drogim jest budowa kotłów z chłodzeniem ścian lub opromieniowanych, która to konstrukcja np. w Niemczech znajduje coraz większe zastosowanie.

Oprócz tego jest jeszcze jedno wyjście z tych trudności a mianowicie nawrót od przesadnie wysokich komór do komór paleniskowych o umiarkowanych wysokościach, to



Rys. 1

wysokości dotychczas stosowanej; wynosi ona w instalacji I—4675 mm, w instalacji II—4000 mm, co w porównaniu z dotychczasowymi, stosowanymi u nas — około 2400 mm — stanowi różnicę około 100%. Firma, jak widać z tego, śledzi pilnie za postępem na zachodzie i zastosowuje osiągnięte tam doświadczenie na naszym gruncie.

Wysoka komora, jak wiadomo, stwarza warunki dobrego spalania produktów odgazowanych z węgla; posiada jednak wadę występującą w ruchu w mniejszym lub większym stopniu a mianowicie skutek wytwarzających się w komorze temperatur i działania unoszonych przez gazy cząstek szlaki tworzą się na ścianach komory nawisy szlaki, która działa niszcząco na szamotę, powstaje konieczność odbijania tych stalaktytów, przyczem obmurze zostaje zazwyczaj narażone na uszkodzenia mechaniczne, lub też szamota zaczy-

jednak omówimy w jednym z następných artykułów.

Wracając jeszcze do badanych instalacji zaznaczamy, że w obu wypadkach praca urządzenia wyciągającego gazy była wadliwa. W instalacji I exhaustor stwarzał silne rozrzedzenie (do 54 mm słupa wody), co przy regulacji obrotnicą między kotłem a podgrzewaczem może pociągnąć znaczne nieszczelności podgrzewacza; w instalacji zaś II ciąg pomimo wysokiego kominu, był niedostateczny, tak że przy nieco grubszych warstwach węgla zjawiało się w spalinach CO (wylot kominu zbyt duży).

Tablica wyników pomiaru wskazuje na b. dobrą sprawność osiągniętą w obu instalacjach; zarazem rzuca się w oczy wielka powierzchnia podgrzewacza w stosunku do pow. ogrzew. kotła.

Pomiary a i c zamieszczone w tablicy są zasadnicze, pomiary b, d, c — orientacyjne<sup>1)</sup>.

<sup>1)</sup> Por. tabela wyników strona 165.

TABELA WYNIKÓW.

Nr. instalacji	I		II			
	a	b	c	d	e	
Rok budowy . . . . .	r.	1929		1 9 3 0		
Data badania . . . . .	dn.	27-1-1931	2 - VII - 31	3 - VII - 1931		
Czas trwania pomiaru . . . . .	godz.	6,083	2,70	6,083	2,033	2,133
Pow. ogrzew. kotła . . . . .	m <sup>2</sup>	300	300	200	200	200
„ „ przegrzew. . . . .	m <sup>2</sup>	110	110	74	74	74
„ „ podgrzew. . . . .	m <sup>2</sup>	350	350	200	200	200
„ rusztu . . . . .	m <sup>2</sup>	10,2	10,2	8,01	8,01	8,01
H: R . . . . .		29,6	29,6	25	25	25
Ciśnienie koncesjon. . . . .	ata	15	15	22	22	22
<b>Paliwo:</b>		Orzech III		grysik kop. Grodziec		
Wu . . . . .	k Cal	5932	5866	5686	—	—
Wg . . . . .	k Cal	6192	6136	5965	—	—
Spalono ogółem . . . . .	kg	6405	4000	5429	1687	2218
„ na godz. . . . .	kg	1053	1482	893	830	1040
„ „ „ i 1 m <sup>2</sup> rusztu . . . . .	kg	103,3	145,3	111	103,5	130
<b>Popiół</b> + przesyp. . . . .	kg	432	156	40	—	—
w % paliwa . . . . .	%	6,7	4,0	0,7	—	—
części palnych w przesypie . . . . .	%	20,8	19	—	—	—
żuzel . . . . .	kg	295	112	280	—	—
w % paliwa . . . . .	%	4,6	2,8	5,2	—	—
części palnych w żuzlu . . . . .	%	3,46	5,43	18,29	—	—
<b>Woda:</b>						
Temper. przed podgrzew. . . . .	°C	43,5	38	34	37	38,5
„ za podgrzew. . . . .	°C	102	106	115	120	120
Podgrzanie . . . . .	°C	58,5	68	81	83	81,5
Odparowano ogółem . . . . .	kg	45800	26050	34250	10980	13670
na godz. . . . .	kg	7535	9650	5628	5400	6420
Odpar. ogółem na godz. i na 1 m <sup>2</sup> pow. ogrzew. . . . .	kg	25,1	32,1	28,14	27,00	32,10
<b>Para:</b>						
Średnie ciśnienie . . . . .	ata	14,85	14,9	21,3	20,1	20,5
Temperatura pary . . . . .	°C	348	376	414	395	402
Przegrzanie . . . . .	°C	151	179	—	—	—
Ciepłik pary . . . . .	k Cal	752	765,5	782,5	773	777
Ciepło pochłonięte 1 kg paliwa . . . . .	k Cal	708,5	727,5	748,5	736	734,5
<b>Gazy spalinowe:</b>						
CO <sub>2</sub> przed podgrzew. . . . .	%	—	—	11,3	11,2	12,3
CO <sub>2</sub> za podgrzew. . . . .	%	10,7	11,1	10,6	9,9	11,3
O <sub>2</sub> przed podgrzew. . . . .	%	—	—	7,6	8,6	6,0
O <sub>2</sub> za podgrzew. . . . .	%	9,4	8,9	8,3	10,1	7,6
Nadmiar powietrza . . . . .	—	1,8	1,7	1,7	1,9	—
Temper. gazów przed podgrzew. . . . .	°C	—	—	395	386	388
„ „ za podgrzew. . . . .	°C	143	171	217	224	224
„ kotłowni . . . . .	°C	15	15	27	27	32
„ „ „ . . . . .	—	—	14	17	17	17
Ciąg za podgrzew. mm H <sub>2</sub> O . . . . .	—	54	53	23	25	26
Odparowalność . . . . .	kg	7,15	6,52	6,31	6,50	6,17
<b>Wyzyskano:</b>						
w kotle . . . . .	k Cal	4050	3655	3500	3570	3390
w przegrzewaczu . . . . .	k Cal	605	640	716	683	673
w podgrzewaczu . . . . .	k Cal	415	443	510	539	503
ogółem . . . . .	k Cal	5070	4738	4726	4792	4566
<b>Sprawność:</b>						
kotła . . . . .	%	68,20	62,40	61,50	62,80	59,60
przegrzewacza . . . . .	%	10,20	10,92	12,56	12,00	11,82
podgrzewacza . . . . .	%	7,00	7,56	8,96	9,48	8,85
<b>Bilans:</b>						
wyzyskano . . . . .	%	85,40	80,88	83,02	84,28	80,27
stracono: w gazach . . . . .	%	7,78	9,14	11,65	—	—
„ w popielniku . . . . .	%	0,96	0,77	1,34	—	—
promieniowanie + reszta . . . . .	%	5,86	9,21	3,99	—	—
Ogółem . . . . .	%	100,00	100,00	100,00	—	—

Inż. M. DAUTER.

## ELEKTROWNIA O NAPĘDZIE MOTOROWYM

(Por. *Technika Ciepła* str. 160, 1932).

Omawiane wyżej silniki Diesla zostały zbadane przez Stowarzyszenie Dozoru Kotłów w Warszawie. Silnik o 300 KM złożony jest z 6 cylindrów o skoku tłoka 400 mm i o średnicy cylindrów 300 mm,  $n = 300$  obr./min. Motor 100 KM o dwóch cylindrach, o średnicy cylindrów 300 mm i o skoku 400 mm,  $n = 300$  mm.

Przed badaniem silniki nie były przez dostawców rewidowane i doprowadzone do porządku.

Gwarancje przyręczone przez dostawcę podane są w tablicach wyników badań.

Dostawca oprócz gwarancji wyszczególnionych w umowie dostarczył krzywe (rys. 3 i 4) zużycia paliwa,  $\eta$  term. i  $\eta$  mech. dla każdego z silników, jako wyniki badań silników na stacji doświadczalnej w wytwórni.

Dostawca generatorów przedstawił dla przeliczeń mocy krzywe sprawności ich przy  $\cos \varphi = 0,8$  i  $\cos \varphi = 1$  (rys. 5 i 6).

Wyniki badań przedstawiono w postaci krzywych na rys. 7 i 8. Tablica 2 zawiera wyniki badań 300-konnego silnika.

T A B E L A 2

P o m i a r	I	II	III	IV	V	VI
Obciążenie motoru	$\frac{1}{4}$	$\frac{1}{2}$	$\frac{2}{3}$	$\frac{3}{4}$	$\frac{4}{4}$	110%
Początek pomiaru . . . . .	9,26	1,56	10,43	12,47	14,18	0,59
Czas trwania pom. w min. . . . .	42,1	48,3	64,4	65,7	66,1	46,75
Obciąż. na zac. generatora w kW . . . . .	60,8	98,5	131,7	151,3	205,0	227,0
Sprawność generatora wg. krzywych . . . . .	0,862	0,9	0,916	0,922	0,928	0,929
Moc ef. na sprzęgle motoru w KM . . . . .	95,9	148,8	195,4	223,3	300,5	332,5
Zużycie oleju gaz. w kg. . . . .	20,35	29,45	48,2	55,35	71,2	55,55
Zużycie oleju gaz. w kg na godz. . . . .	29,0	36,6	45,0	50,5	64,6	71,3
Zużycie oleju gaz. w gr na kW . . . . .	477,0	371,0	342,0	334,0	315,0	314,0
Zużycie oleju gaz. w gr na KMe . . . . .	302,5	246,0	230,0	226,4	215,0	214,5
Gwarantowane zuż. oleju gaz. + 5% tolerancja	—	220,0	—	195,0	185,0	—
Przekroczenie gwarancji z tolerancją 5% . . .	—	15,0	—	21,9	20,9	—
Odchylenie średniego obciążenia od punktu gwarancyjnego w % około . . . . .	—	0,8	—	1,1	0	—
Maximalne chwilowe odchylenie obe. od gwarantowanego punktu podczas pomiaru . . .	—	0,9	—	1,3	1,49	—

Do badań były użyte precyzyjne watomierze Stowarzyszenia Dozoru Kotłów. Olej gazowy mierzono na wagę i wlewano do naczynia dwustopniowego z wąską szyjką i szkłem wodostopkowanym, przez co unikało się błędów przy pomiarach, uzależnionych od powierzchni naczynia.

Motor 300 KM. Energia podczas badań była pochłaniana przez opornik wodny. Zużycie paliwa wyniosło o 15 do 21,9 gr/KMef więcej od gwarantowanego już po uwzględnieniu 5%owej tolerancji przewidzianej w umo-

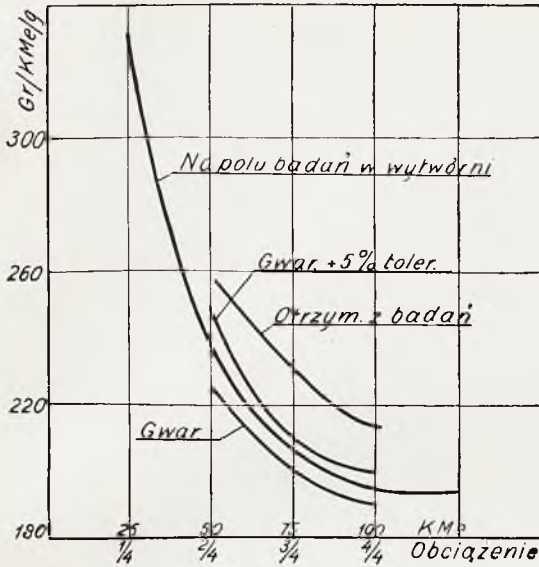
wie dostawy. Zużycie smaru wynosiło około 292 gr/h co wykazuje, że liczba gwarancyjna zużycia smaru 180 gr/h podana była zbyt nisko.

Uruchomienie silnika nie przedstawiało żadnych trudności, podczas pracy silnik dość silnie wibrował.

Regulacja obrotów silnika odręczna, przy zmianie obciążenia silnik nie utrzymuje stałej normalnej ilości obrotów.

Przy raptownem zrzucając obciążenia z  $\frac{1}{4}$  mocy do 0 wzrost obrotów maksymalny stały wyniósł 2,4%

z  $\frac{1}{2}$  mocy do 0 wzrost obrotów maksymalny stały wyniósł 2,7‰

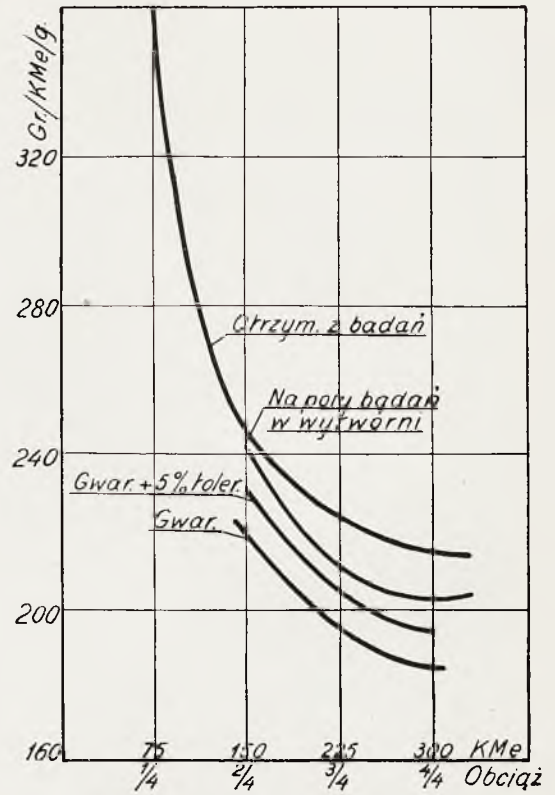


Rys. 7

z  $\frac{1}{1}$  mocy do 0 wzrost obrotów maksymalny stały wyniósł 7,9‰.

Pełną moc i 10‰-owe przeciążenia silnik wytrzymał bez żadnych trudności.

Motor 100 KM. Przeciążenia i pełne obciążenie w czasie badań były zużyte na opornik  $\frac{3}{4}$  mocy normalnej i  $\frac{1}{2}$  były oddawane na sieć, gdyż opornik wodny nie na-



Rys. 8

dawał się do pracy na tak małe obciążenia. Wyniki badań umieszczono w tabelicy 3.

T A B E L A 3

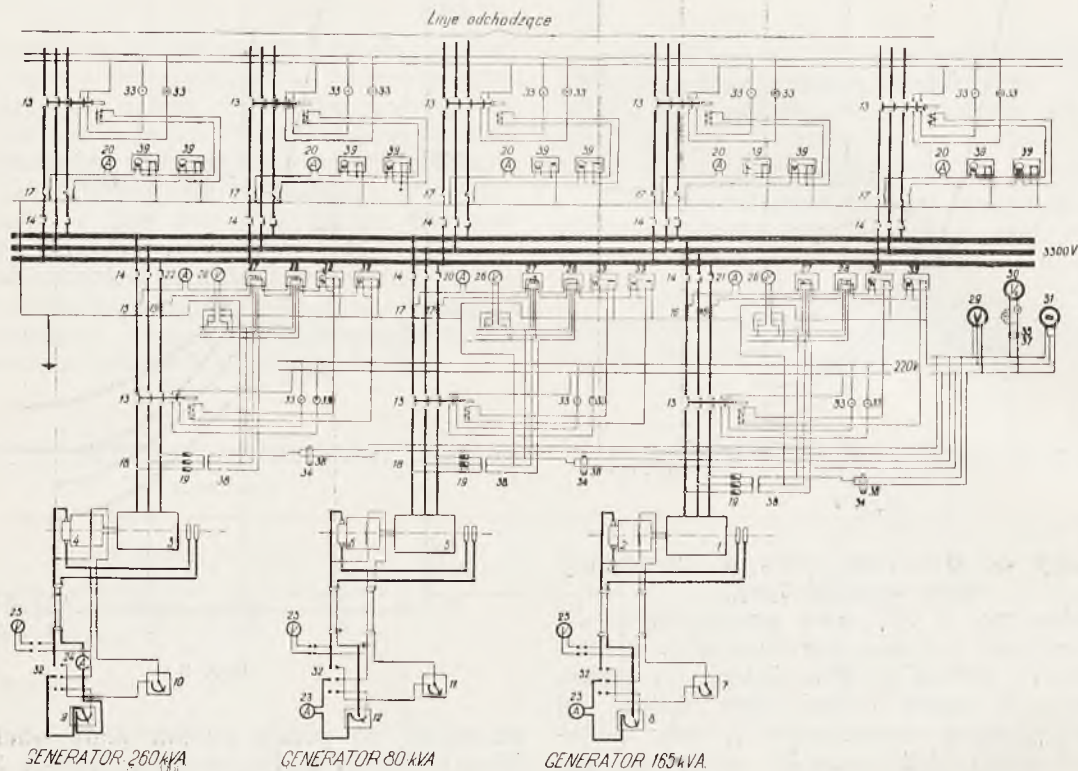
P o m i a r	I	II	III	IV
O b c i ą ż e n i e	$\frac{1}{2}$	$\frac{3}{4}$	$\frac{4}{4}$	110%
Początek pomiaru . . . . .	13,14	14,14	9,44	11,36
Czas trwania pomiaru w min. . . . .	39,83	41,47	47,55	21,27
Obciążenie na zaciskach generatora w kWg . . . . .	32,2	47,2	61,6	70,5
Cos φ . . . . .	0,67	0,77	1,0	1,0
Sprawność generatora . . . . .	0,827	0,858	0,89	0,9
Obciążenie na sprzęg. motoru w KM . . . . .	52,8	74,6	94,2	105,8
Zużycie oleju gaz. w kg ogółem . . . . .	9,0	12,0	16,0	8,0
„ „ „ „ na godz. . . . .	13,56	17,40	20,20	22,50
„ „ „ „ w gram/KMef . . . . .	257,0	233,0	214,0	213,0
„ „ „ „ kW . . . . .	421,0	368,0	328,0	320,0
Gwarantowane zużycie oleju gaz. w gram/KMef . . . . .	225,0	200,0	190,0	—
Gwarantowane zużycie oleju gaz. w gr/KMef z zastrzeżoną 5‰-ową tolerancją . . . . .	236,0	210,0	199,5	—
Przekroczenie zużycia oleju w gr . . . . .	21	23	14,5	—
Odchylenie śred. obc. od punktu gwarancyjnego w ‰ ‰ około . . . . .	5	—	5	—
Maximalne chwilowe odchylenie obc. od gwarantowanego punktu podczas pomiaru . . . . .	14	5	8	—

Z tablicy wynika, że przekroczenie zużycia paliwa wynosi od 14,5 do 21 gr/h ponad gwarantowane wraz z zastrzeżoną 5%-ową tolerancją.

Zużycie smaru wyniosło około 100 gr/h

Regulacja obrotów identyczna, jak w większym silniku.

Przy zrzucaniu obciążenia z  $\frac{1}{2}$  mocy do 0 wzrost obrotów maksymalny i stały wynosi 3%



Rys. 9

przy gwarantowanych 60 gramach, co świadczy o zbyt niskiej gwarancji zużycia smarów.

Uruchomienie silnika nie następuje żadnych trudności, podczas pracy silnik silnie drży.

z  $\frac{1}{1}$  mocy do 0 wzrost obrotów maksymalny i stały wynosi 7%.

Pełną moc oraz przeciążenie o 6% silnik łatwo rozwija, należy wnosić, że i 10% przeciążenie nie następuje trudności.

Inż. H. KRAKOWIAK.

## ODCZYNNIKI DO APARATU ORSATA

Dobrze sporządzone odczynniki do analizy spalin winny zadość dwóm bardzo ważnym warunkom:

- 1<sup>o</sup> — szybkość pochłaniania gazów winna być możliwie duża,
- 2<sup>o</sup> — stężenie odczynników musi być dostatecznie wielkie.

Pierwszy warunek stanowi o łatwości wykonywania analiz, zwłaszcza gdy chodzi o systematyczne 10-o lub 15-o minutowe badanie próbek. Przy szybko przebiegającej absorpcji składników gazu w poszczególnych chłodnicach, wykonywanie analizy jest mniej uciążliwe. Oprócz tego, łatwiej jest pobierać do jednego aparatu próbki z dwóch naraz miejsc, o czym niżej. Szybkość absorpcji szczególnie jest ważna przy automatycznych analizatorach chemicznych.

Drugi warunek decyduje o wykonywaniu możliwie jak największej ilości analiz z danym, nieodnawianym odczynnikiem, przytem wraz z rosnącą koncentracją roztworu szybkość absorpcji nie może znacznie maleć.

Odczynnik na  $CO_2$ . Jest to roztwór wodny  $KOH$ , Absorbacja przebiega według:



dając jako produkt reakcji węglan potasu (potaż)  $K_2 CO_3$ . Powstały potaż rozpuszcza się w roztworze ługu potasowego. Rozpuszczalność  $K_2 CO_3$  jest: 112-114 części wag. w 100 częściach wag. wody.

Zależność między stężeniem ługu a jego zdolnością absorbcyjną względem  $CO_2$  podaje tabelka 1 i wykres rys. 1.

Tabelka 1

Stężenie ługu $KOH$ w %	5	10	15	20	25	30	35	40
Zdolność absorbcyjna $KOH$ względem $CO_2$ w $cm^3 CO_2/cm^3 KOH$	10	22	35	47	60	76	94	115

Powyższe zależności wyprowadzono w założeniu, że końcowym, ostatecznym produktem reakcji jest



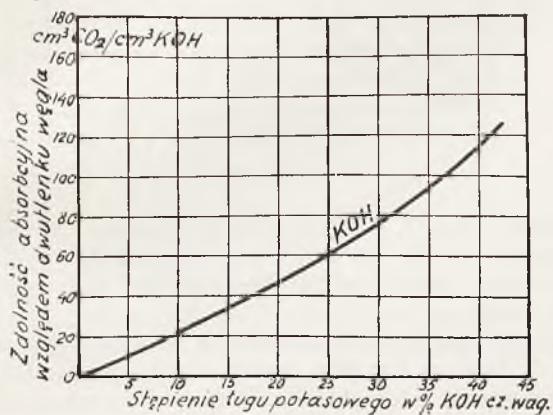
$K_2CO_3$ . W rzeczywistości obraz procesu jest nieco inny, gdyż liczyć się trzeba z hydrolitycznym rozpadem  $K_2CO_3$  w roztworze wodnym.

Zależność szybkości absorpcji od stężenia ługu podaje tabelka 2 i wykres rys. 2.

T a b e l k a 2

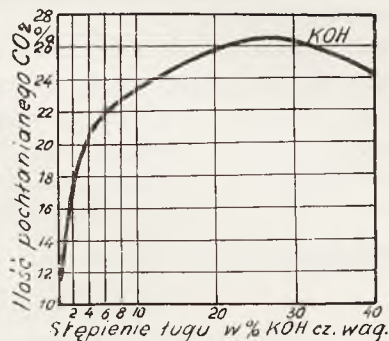
Stężenie ługu KOH	w %	2	4	6	8	10	15	20	25	30	35	40
Ilość pochłanianego dwutl. węgla $CO_2$	w %	17	21	21.8	22.6	23.3	24.7	25.8	26.4	26,3	25,5	24.0

Jak widać z wykresu, krzywa szybkości wznosi się najpierw stromo, do punktu któremu odpowiada stężenie 4%, potem przebiega łagodnie — i wreszcie osiąga maximum przy 28% stężenia ługu. W okolicy maximum, między 24% i 30% szybkość absorpcji zmienia się nie wiele.



Rys. 1

Taki przebieg krzywej szybkości daje się łatwo wyjaśnić. Przy małych stężeniach roztworu powstające z reakcji cząsteczki  $K_2CO_3$  szybko rozpuszczają się w rozcieńczonym roztworze. Przy zwiększającym się stężeniu KOH, ilość tworzących się cząsteczek  $K_2CO_3$  wzrasta, skutkiem czego rozpuszczanie ich musi odbywać się wolniej.



Rys. 2

Istnienie maximum krzywej szybkości absorpcji przewiduje teoria jonów. Według niej, intensywność reagowania zależy nie od stężenia roztworu lecz od stężenia jonów wodorotlenowych, czyli od t. zw. stopnia dysocjacji. Ze wzrostem rozcieńczenia, stopień dysocjacji wzrasta, wzrasta więc ilość zdysocjowanych cząsteczek, które są chemicznie najbardziej aktywne. Roztwór o największym stężeniu nie będzie zatem odznaczać się najwyższą szybkością absorpcji. Najwyższą szybkość absorpcji posiadać będzie ten roztwór, który

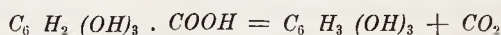
jest dostatecznie stężony, by mógł pochłaniać możliwie dużo  $CO_2$ , taki jednak, by jego stopień dysocjacji był odpowiednio duży.

U W A G A. Roztwór wodny NaOH jest również jak KOH mocną zasadą, nie znajduje jednak zastosowania w aparacie Orsata. Odnacza się on wybitnie większą niż ług KOH zdolnością absorcyjną względem  $CO_2$ : — odpowiednia krzywa dla NaOH na rys. 1 wznosiłaby się wyżej, ponad krzywą dla KOH. Natomiast rozpuszczalność powstającej z reakcji sody  $Na_2CO_3$  w roztworze wodnym jest mniejsza niż  $K_2CO_3$ , co wpływa na mniejszą szybkość absorpcji.

Najważniejszym jednak jest, że  $Na_2CO_3$  łatwiej wydziela się z roztworu w postaci stałej, dzięki czemu następuje zatykanie kapilary w aparacie.

Odczynnik na  $O_2$ . Jest to alkaliczny roztwór pyrogalolu. Pyrogalol należy do grupy fenoli, t. j. związków, które powstają z benzenu  $C_6H_6$  przez zastąpienie jednego lub kilku atomów wodoru grupą wodorotlenową (hydroksylową). Pyrogalol jest fenolem trójwodorotlenowym o wzorze  $C_6H_3(OH)_3$ .

Otrzymuje się go z kwasu gallusowego <sup>1)</sup> przez suchą destylację:



Rozpuszczony w ługach odnacza się pyrogalol dużą zdolnością pochłaniania tlenu. Do aparatu Orsata używany jest wyłącznie jako rozpuszczalnik wodny roztwór KOH.

Istotny przebieg reakcji zachodzący przy absorpcji tlenu nie jest dostatecznie wyjaśniony. Nie można więc podać dokładnie zależności między stężeniem pyrogalolu a jego zdolnością absorcyjną względem  $O_2$ . Według Hoffmana, należy przyjmować, że dobrze sporządzony roztwór pyrogalolu w ługu KOH wiąże  $40\text{ cm}^3 O_2$  na  $1\text{ cm}^3$  roztworu.

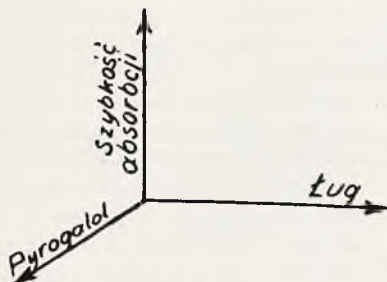
Badania nad szybkością absorpcji <sup>2)</sup> przez alkaliczny roztwór pyrogalolu muszą uwzględniać zmienność dwóch niezależnych od siebie czynników: stężenia ługu KOH i zawartości  $C_6H_3(OH)_3$  w roztworze tego ługu (rys. 3). Wykres krzywej szybkości absorpcji ma zatem charakter przestrzenny. Jest to powierzchnia. Przecinając ją płaszczyznami prostopadłymi do osi „pyrogalol” i rzutując przekroje na płaszczyznę: „ług — szybkość absorpcji” otrzymujemy układ linii podanych na wykresie rys. 4. Przecinając zaś

<sup>1)</sup> Kwas gallusowy, znajdujący się w t. zw. galasówkach, naroślach na liściach dębu, otrzymuje się z taniny.

<sup>2)</sup> Badania wykonano w Instytucie Ciepłym Politechniki w Darmstadtzie.

plaszczynami równoległymi do poziomu, w rzucie na płaszczyznę poziomą otrzymamy warstwicę powierzchni (rys. 5).

Jak widać z układu warstw, rozważana powierzchnia posiada dwa szczyty, odpowiadające dwóm największym szybkościom absorpcji. Jeden szczyt dla 5%-owej zawartości pyrogalolu i 10%-owej zawartości ługu  $KOH$ . Drugi — przy zawartości 15% pyrogalolu i 18% ługu  $KOH$ .



Rys. 3

Pod uwagę należy wziąć ten ostatni szczyt, gdyż obok najwyższej szybkości absorpcji odczynnik winien posiadać dostateczne stężenie, w myśl p. 2 poruszonego na wstępie.

Z wykresów rys. 4 widać, że szybkość absorpcji, po osiągnięciu maximum, bardzo szybko maleje:

1° — jeżeli przy danym stężeniu ługu, zwiększać zawartość pyrogalolu,

albo

2° — jeżeli przy danej zawartości pyrogalolu zmniejszać stężenie ługu.

Np. przy stałej zawartości 18%  $KOH$ :

i wzrastającej zawartości pyrogalolu: 15% 20% 25%  
 szybkość absorpcji wynosi: 18,3 16 7

przy stałej zawartości 15% pyrogalolu:

i zmniejszającej się zawartości  $KOH$ : 18% 15% 12,5%  
 szybkość absorpcji wynosi: 18,3 18,1 16,5

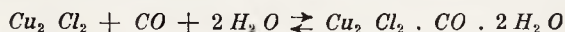
Jeżeli natomiast wzajemny układ tych składników przesunie się w stronę przeciwną, wówczas szybkość absorpcji ulegnie niewielkiej zmianie.

W praktyce zaleca się stosować składniki w takim stosunku, aby odchylenia od szczytów były jak najmniejsze. Jako najwłaściwszy stosunek polecają jednak następujący:

ługu  $KOH$  . . . . . 22,5 cz. wag.  
 pyrogalolu . . . . . 15 cz. wag.  
 wody . . . . . 62,5 cz. wag.<sup>1)</sup>

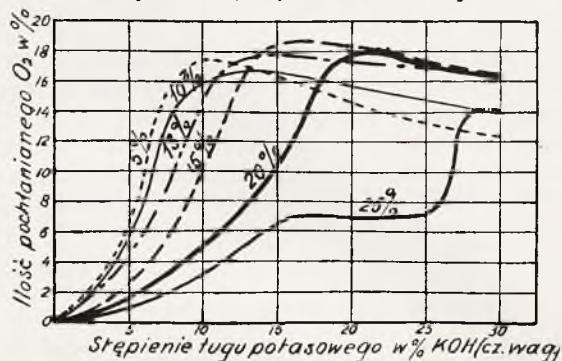
**Odczynnik na  $CO$ .** Jest to do niedawna wyłącznie prawie stosowany amonjalkalny roztwór chlorku miedziowego  $Cu_2 Cl_2$ <sup>2)</sup>. Chlorek  $Cu_2 Cl_2$  rozpuszcza się w amonjaku, nabierając w krótkim czasie barwy niebieskiej, skutkiem utleniania soli miedziowych na

miedziowe. Roztwór ten wchłania tlenek węgla  $CO$ , tworząc z nim związek niestały:



wydzielający się w postaci bezbarwnych lametek.

Odczynnik powyższy nie może być zupełnie uważany za doskonały do analizy spalin. Jeżeli bowiem przez częstsze użycie, w roztworze tym istnieją



Rys. 4

związki  $Cu_2 Cl_2 \cdot CO \cdot 2 H_2 O$  i wpuścimy do niego spaliny ubogie w  $CO$ , wówczas roztwór wydziela z siebie tlenek węgla, wzbogacając nim spaliny. W rezultacie na miernicy aparatu można odczytać objętość spalin większą niż przed pożądaną absorpcją.

Obecnie technika ciepłna rozporządza już innym, pewniejszym odczynkiem na  $CO$ , o czym mowa niżej.

Gdy jednak do dyspozycji pozostaje odczynnik z chlorkiem miedzi, to jako jeden z najodpowiedniejszych roztworów zalecają o składzie następującym:

20 cz. wag. . . .  $Cu_2 Cl_2$  (chlorek miedziawy)  
 13,6 cz. wag. . . .  $NH_4 Cl$  (salmiak)  
 44,4 cz. wag. . . .  $H_2 O$  (woda)  
 22,0 cz. wag. . . .  $NH_3$  (amonjak, c. wł. = 0,96).

Przy dodawaniu amonjaku opadają wielobarwne osady, o składzie nieustalonym. Przed użyciem zaleca się ten roztwór przesączyć.

*Przepis na sporządzanie odczynników.*

- na dwutlenek węgla  $CO_2$ : 28 cz. wag.  $KOH$   
72 cz. wag.  $H_2 O$ .
- na tlen  $O_2$ : 22,5 cz. wag.  $KOH$   
15,0 cz. wag.  $C_6 H_3 (OH)_3$   
62,5 cz. wag.  $H_2 O$
- na tlenek węgla  $CO$ : 20,0 cz. wag.  $Cu_2 Cl_2$   
13,6 cz. wag.  $NH_4 Cl$   
44,4 cz. wag.  $H_2 O$   
22,0 cz. wag.  $NH_3$  (c. wł. = 0,96).

Przed użyciem roztwór 3 przefiltrować.

<sup>1)</sup> Interesującą rzeczą byłoby sprawdzić działanie roztworu o składzie odpowiadającym dokładnie największej szybkości absorpcji t.j. 15%  $KOH$ , 18% pyrogalolu i 67% wody.

<sup>2)</sup> Używano również roztworu  $Cu_2 Cl_2$  w kwasie solnym.

Całoroczne doświadczenie nabyte przy stosowaniu tak sporządzonych odczynników, pozwala twierdzić, że istotnie odczynniki te (pomijając 3) pochłaniają stosunkowo znacznie szybciej, niż sporządzane według dotychczasowych recept. Odnosi się to szczególnie do pyrogalolu. Gdy dawniej trzeba było nieraz 5, a nawet więcej minut płókać gaz w roztworze pyrogalolu, i za każdym razem miernica wykazywała



plukaniu próbki w emulsji zabarwienie znika zupełnie, co znów świadczy o ukończeniu reakcji. Wtedy przenosi się próbkę do chłonicy z  $KOH$ , — i z pochłoniętej ilości  $CO_2$  wnosić można bezpośrednio o zawartości  $CO$  w spalinach.

Odczynnik Schläpfera pochłania oprócz  $CO$  także ciężkie węglowodory. Dla zróżniczkowania tych składników niezbędnym jest ustawić dodatkową chłonicę ze stężonym kwasem siarkowym do absorpcji samych węglowodorów. Przy stosowaniu więc emulsji  $J_2 O_5$  użyty być musi aparat Orsata o 4 chłonicach: I — chłonicą z  $KOH$ , II — z  $C_6 H_3 (OH)_3$ , III — ze stężonym  $H_2 SO_4$  i IV — z emulsją  $J_2 O_5$ .

Analizę spalin należy wykonywać w kolejności następującej: pierwsza absorpcja — w  $KOH$ , druga — w  $C_6 H_3 (OH)_3$ , trzecia — w  $H_2 SO_4$ , czwarta — w  $J_2 O_5$ , aż do zaniku zabarwienia, wreszcie ostatnia — w  $KOH$ , w celu odczytania  $CO_2$  (ilości  $CO$ ).

Podczas wykonywania analizy należy uważać, aby nie przelewać wody z miernicy do odczynnika na  $CO$ , gdyż przy rozcieńczaniu  $H_2 SO_4$  wydziela się krystaliczny kwas jodowy — i może nastąpić zatkanie kapilary.

Przy użyciu aparatu 4-o chłonicowego ilość badanych jednocześnie próbek może być zwiększona

i w razie gdy odczynniki czynią zadość warunkom najwyższej szybkości reakcji, analizowanie odbywa się szybko i sprawnie.

Danych dokładniejszych o zdolności pochłaniania i szybkości absorpcji odczynnika  $J_2 O_5$  poza wynikami uzyskanymi przez wynalazców — jeszcze niema. Według P. Schläpfera i E. Hofmanna, 50 gr.  $J_2 O_5$  sporządzone stosownie do wyżej podanego przepisu, wystarcza do oksydacji  $3300 cm^3 CO$ , co przy zawartości 5% w gazach odpowiada 660 analizom, przy  $100 cm^3$  pobieranych próbkach. Metoda emulsji nadaje się jednak najlepiej przy większych zawartościach  $CO$ , poczynając od 0,2% w górę.

U W A G A. Dotychczas najczęściej używane są aparaty Orsata, jako dostosowane do odczynnika na  $CO$  z roztworem chlorku miedzi, posiadają zazwyczaj trzy chłonicę. Chcąc użyć zamiast  $Cu_2 Cl_2$  emulsji  $J_2 O_5$  nie należy łączyć z sobą w szereg dwóch wyżej podanego typu aparatów, nawet przy pomocy krótkiej rurki gumowej, gdyż wyniki analiz będą fałszywe. Do tego celu muszą być użyte aparaty z czterema chłonicami, połączonymi wzajemnie rurkami kapilarnymi.

Inż. H. KRAKOWIAK.

## O ZAWARTOŚCI $CO_2 + O_2$ W GAZACH SPALINOWYH

W czasopiśmie *Die Wärme*<sup>1)</sup> z roku bieżącego ukazał się artykuł omawiający możliwość powstawania w gazach spalinowych dwutlenku węgla  $CO_2$  i tlenu  $O_2$  o łącznej objętości  $CO_2 + O_2$  większej od 20,9%. Wiadomem było dotąd, że suma ta może przewyższać 20,9% w przypadku, gdy np. paliwo jeszcze przed spaleniem zawierało w sobie pewien %  $CO_2$ , jak to ma miejsce przy opalaniu kotłów gazem wielkopieczowym<sup>2)</sup>. W danym jednak razie mowa jest o możliwości pojawiania się tego efektu przy użyciu paliw stałych, przy których dotychczasowe rozważania teoretyczne nie przewidywały — przynajmniej wyraźnie — podobnych rezultatów, a praktyka naogół potwierdzała takie wyniki, z tem jednak zastrzeżeniem, że o ile aparat Orsata wykazywał sumę  $CO_2 + O_2 > 20,9\%$ , składało się to na karb błędu wykonania analizy, z winy bądź samego aparatu, bądź też pracownika, który tę analizę wykonał.

Przyznać trzeba, że podręczniki traktujące o spalaniu nie dość wyczerpująco wyjaśniają kwestje moż-

liwych procentowych zawartości poszczególnych składników gazów spalinowych i nie omawiają, czy możliwe jest wogóle wytwarzanie się takich warunków w palenisku, przy których suma  $CO_2 + O_2$  staje się większa od 20,9%. Dlatego dobrze się stało, że ukazał się artykuł omawiający radykalnie ten temat, gdyż niewątpliwie przyczynić się może do szerszego wyświetlenia i dalszego pogłębienia interesującego każdego technika cieplnego zagadnienia.

Idąc w ślad za przejrzystym rozumowaniem autora powyższego artykułu, przyjmujemy do rozważań, że paliwo o składzie palnych części w 1 kg,  $C^0\%$ -węgla  $H_2^0\%$  wodoru i  $OS^0\%$ -tlenu<sup>1)</sup> spala się w sposób zupełny. To znaczy, w spalinach niema częściowej oksydacji na  $CO$ , jak również niema strat popielnikowych, strat przez sadzę i przez niespalone ciężkie węglowodory, gdyż straty te mogłyby spowodować zmianę w procentowym składzie paliwa. Przyjmijmy dalej, że po spaleniu  $\delta$  kg paliwa powstaje  $100 cm^3$  spalin suchych, zasanych do aparatu Orsta. Mamy więc:

$$CO_2 + O_2 + N_2 = 100 cm^3 \dots (1)$$

Objętość tlenu  $O_2 cm^3$ , wykazana przez aparat oznacza nadmiar powstały z użycia do spalania rzeczywistej ilości tlenu  $O_2$  (rzecz) większej od ilości tlenu  $O_2$  (teor) teoretycznie potrzebnego do spalania:

$$O_2 (rzecz) = O_2 (teor) + O_2$$

<sup>1)</sup> Zawartość siarki  $S^0\%$ , jako zazwyczaj drobna, pomijamy.  $OS$  oznacza tlen-składnik (w paliwie).

<sup>1)</sup> *Die Wärme* Nr. 9, Rok 1931, str. 156.

<sup>2)</sup> Podczas jednego z badań kotłów opalanych gazem wielkopieczowym o składzie:  $CO_2 = 9,5\%$ ,  $CO = 28,5\%$ ,  $H_2 = 2,5\%$ ,  $N_2 = 54,5\%$ ,  $O_2 = 0,5\%$  aparat Orsata podawał  $CO_2 = \left\{ \begin{array}{l} 12,2\% \\ 17,5\% \end{array} \right. O_2 = \left\{ \begin{array}{l} 10,2\% \\ 5,8\% \end{array} \right. CO_2 + O_2 = \left\{ \begin{array}{l} 22,4\% \\ 23,3\% \end{array} \right.$  Por. także: „Wykłady o gospodarce cieplnej“ Lwów, 1923 str. 121.

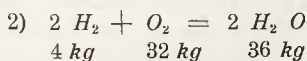
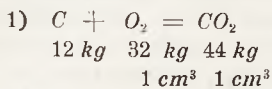
Objętość azotu  $N_2$  obliczamy ze stosunku:

$$N_2 = \frac{79,1}{20,9} O_2 \text{ (rzecz)} = \frac{79,1}{20,9} [O_2 \text{ (teor)} + O_2]$$

wobec czego mamy z (1):

$$CO_2 + O_2 + \frac{79,1}{20,9} [O_2 \text{ (teor)} + O_2] = 100 \text{ cm}^3 \quad (2)$$

Ilość tlenu teoretycznie potrzebna do spalania z pełnego  $\delta$  kg paliwa daje się obliczyć z zasadniczych wzorów chemicznych:



w sposób następujący;

Ze spalania	Potrzebna teoretycznie ilość tlenu		Ciężar właściwy tlenu $\gamma = 6/v \text{ kg/cm}^3$
	Wagowo: $G \text{ kg}$	Objętościowo $V \text{ cm}^3$	
$\delta C$ na $CO_2$	$\frac{8}{3} \delta C$	$CO_2$	$\frac{8}{3} \frac{\delta C}{CO_2}$
$\delta H^z$ na $H_2O$	$8 \delta H_2$	$\frac{8 H_2}{\frac{8}{3} C} \cdot CO_2$	
	$-\delta O_s$	$-\frac{O_s}{\frac{8}{3} C} \cdot CO_2$	
		$\Sigma = O_2 \text{ (teor)} \text{ cm}^3$	

stąd:

$$O_2 \text{ (teor)} CO_2 + \frac{8 H_2}{\frac{8}{3} C} CO_2 - \frac{O_s}{\frac{8}{3} C} CO_2 = CO_2 + \frac{CO_2}{\frac{8}{3}} \left( \frac{8 H_2}{C} - \frac{O_s}{C} \right)$$

a po wstawieniu do (2):

$$CO_2 + O_2 + \frac{79,1}{20,9} \left[ CO_2 + \frac{CO_2}{\frac{8}{3}} \left( \frac{8 H_2}{C} - \frac{O_s}{C} \right) + O_2 \right] = 100 \text{ cm}^3$$

Po przekształceniu otrzymamy:

$$CO_2 + O_2 = 20,9 - 0,297 \left( \frac{8 H_2}{C} - \frac{O_s}{C} \right) \cdot CO_2$$

Oznaczając przez

$$\beta = 0,297 \left( \frac{8 H_2}{C} - \frac{O_s}{C} \right) \quad (3)$$

mamy ostatecznie:

$$CO_2 + O_2 = 20,9 - \beta CO_2 \quad (4)$$

Jest to zasadnicze równanie wyrażające związek między zawartością dwutlenku węgla i nadmiarem tlenu w spalinach przy pełnym spalaniu.

Ilość azotu w spalinach obliczamy na podstawie (1) i (4):

$$N_2 = 100 - (CO_2 + O_2) = 100 - (20,9 - \beta CO_2)$$

$$N_2 = 79,1 + \beta CO_2 \quad (5)$$

ilość tlenu z (4):

$$O_2 = 20,9 - (1 + \beta) CO_2 \quad (6)$$

wszystko w zależności od  $CO_2$ .

Spółczynnik nadmiaru powietrza:

$$n = \frac{20,9}{20,9 - 79,1 \frac{O_2}{N_2}}$$

w funkcji  $CO_2$ , po podstawieniu (5) i (6):

$$n = \frac{20,0}{1 + 1,26 \beta} \cdot \frac{1}{CO_2} + \frac{0,26 \beta}{1 + 1,26 \beta} \quad (7)$$

albo w funkcji  $O_2$  po uwzględnieniu (4) i (7)

$$n = 1 + \frac{1 + \beta}{1 + 1,26 \beta} \cdot \frac{O_2}{20,9 - O_2} \quad (8)$$

W przypadku, gdy zupełnie spalanie zachodzi bez nadmiaru powietrza, mamy  $O_2 = 0$  i wzór zasadniczy (4) przybiera postać:

$$CO_2 = CO_{2 \text{ max}} = 20,9 - \beta CO_{2 \text{ max}}$$

$$CO_{2 \text{ max}} = \frac{20,9}{1 + \beta} \quad (9)$$

i

$$n = \frac{1 + \beta}{1 + 1,26 \beta} \cdot \frac{CO_{2 \text{ max}}}{CN_2} + \frac{0,26 \beta}{1 + 26 \beta} \quad (10)$$

Dla  $\beta = 0$  mamy z (10) i (8):

$$n = \frac{CO_{2 \text{ max}}}{CO_2}$$

i

$$n = \frac{20,9}{20,9 - O_2}$$

Spółczynnik  $\beta$  zależy wyłącznie od składu chemicznego paliwa, jak to widać z (3)

$$\beta = 0,297 \left( \frac{8 H_2}{C} + \frac{O_s}{C} \right)$$

i wartość jego nie ulega zmianie w przypadku spalania pełnego. Jeżeli jednak spalanie jest niepełne, przez straty w postaci sadzy, przesypania rusztowego, niespalania węglowodorów, wówczas zmienia się skład chemiczny spalanej w sposób pełny paliwa, a z nim zmienia się i współczynnik  $\beta$ , który należałoby ponownie obliczyć i wstawić do powyższych wzorów.

Rozpatrujemy 2 przypadki:

$$1. \quad \beta > 0 \text{ czyli } \frac{8 H_2}{C} > \frac{O_s}{C};$$

$$2. \quad \beta = 0 \text{ czyli } \frac{8 H_2}{C} = \frac{O_s}{C} \text{ albo } H_2 = 0 \text{ i } O_s = 0;$$

$$3. \quad \beta > 0 \text{ czyli } \frac{8 H_2}{C} < \frac{O_s}{C};$$



Rzeczywista ilość powietrza użyta:

$$L = n L_t = 1,24 \times 2,14 = 2,65 \text{ m}^3/\text{kg}$$

Ilość gazów suchych jest mniejsza o część tlenu, potrzebną do spalania wodoru, która się skrapla, o:

$$\frac{8 H_2}{1,43} = \frac{8 \times 0,8}{100 \times 1,43} = 0,045 \text{ m}^3/\text{kg}$$

Ilość suchych gazów (bez metanu) z 1 kg węgla jest:

$$2,65 - 0,045 = 2,605 \text{ m}^3/\text{kg}$$

Do tego dochodzi objętość metanu:

$$\frac{0,048}{0,717} = 0,067 \text{ m}^3/\text{kg}$$

Całkowita objętość suchych gazów wraz z metanem:

$$2,605 + 0,067 = 2,672 \text{ m}^3/\text{kg}$$

Aparat Orsata wykaże więc ostatecznie:

$$CO_2 = 16 \cdot \frac{2,65}{2,672} = 15,87\%$$

i

$$CO_2 + O_2 = 21,7 \frac{2,65}{2,672} = 21,5\%$$

a zatem więcej niż 20,9%.

## PRZEGLĄD KSIĄŻEK

Pr. Aleksander Rothert.

### Organizacja Gospodarki Materiałowej w Przemysle i Handlu.

Str. 84, cena zł. 4.50. Skład główny: Instytut Naukowej Organizacji, Warszawa, Mokotowska 51/53.

Aktualne zagadnienie prawidłowej organizacji gospodarki materiałowej doczekało się opracowania przez powołane pióro prof. Aleksandra Rotherta, jednego z wybitnych pionierów racjonalizacji przemysłu w Europie.

Prof. Rothert z właściwą sobie zwięzłością, podaje swe cenne doświadczenia na temat techniki gospodarki materiałowej, uwzględniając w poszczegól-

nych działach kwestję właściwego sposobu zamówienia i odbioru materiałów. Dalej spotykamy uwagi autora w przedmiocie organizacji i czynności składu i znaczenia normalizacji dla gospodarki materiałowej. Osobny rozdział poświęcony jest trafnym uwagom o urzędzeniu składów, przy czym doceniona jest rola wykazu części składowych.

Autor zwraca uwagę czytelnika na ważność postulatu szybkiego przebiegu materiałów, gdyż umożliwia to ograniczenie ich ilości, a przeto redukuje sumę unieruchomionego w materiałach kapitału.

Książka treściwa, zwięzła, pełna praktycznych wskazań, wypełnia lukę w naszym piśmiennictwie fachowym na temat organizacji gospodarki materiałowej w przemyśle i handlu.

## Z ŻYCIA STOWARZYSZEŃ I ORGANIZACJI TECHNICZNYCH

### Komunikat Polskiego Komitetu Normalizacyjnego.

„Podkomisja smarów i oliwienia Polskiego Komitetu Normalizacyjnego uchwaliła projekt „Normalnych metod badania produktów naftowych”, który jest do przejrzania dla osób zainteresowanych w biurze Polskiego Komitetu Normalizacyjnego (Warszawa, Elektoralna 2, parter, w podwórzu) w godzinach 8—15, w soboty do 13.30.

Termin zgłaszania sprzeciwów do powyższego projektu

1 grudnia 1932 r.

T R E Ś Ć:

Pobieranie próbek  
Pomiar temperatury

#### 1. Badania fizyczne.

Ciężar właściwy  
Punkt zapalności i palenia  
Dystalacja normalna  
Lepkość (wiskoza)  
Punkt krzepnięcia  
Punkt mięknięcia i topliwości  
Zabarwienie  
Odporność na emulgowanie  
Liczba Condradsona.

#### 2. Badania chemiczne.

Zawartość wody  
Zawartość stałych ciał obcych

Kwasowość

Liczba zmydlenia i zawartość tłuszczów

Zawartość asfaltów twartych

„ popiołu w przetworach ropnych

Liczba smołowa

„ zesmalania

Zawartość siarki

„ parafiny

„ składników nierozpuszalnych, znajdujących się w pozostałościach i asfaltach

„ koksii oraz popiołu w pozostałościach i asfaltach

„ składników lotnych w koksie ponafutowym

„ popiołu i solo w koksie ponafutowym.

#### 3. Załączniki.

1. Tabela termometrów

2. Normy pobierania prób koksii ponafutowego.

### Wybitne wyróżnienie prof. Karola Adamieckiego przez Międzynarodowy Kongres Naukowej Organizacji.

W lipcu r. b., od 18 do 21, odbył się Międzynarodowy Kongres Naukowej Organizacji w Amsterdamie, który zgromadził około 1000 uczestników z 20 państw. przeważnie europejskich.

Kongres ten był piątym od czasu powstania po wojnie inicjatywy odbywania tych kongresów.

Rola naukowej organizacji tak szybko wzrasta, iż rozważanie jej zagadnień na terenie międzynarodowym

wym wzbudza znaczne zainteresowanie, a dziś wobec kryzysu tembardziej, gdyż w społeczeństwie nie jest dostatecznie wyjaśniony stosunek naukowej organizacji do przeżywanego kryzysu i bezrobocia. W tej mierze istnieje wielka rozbieżność poglądów, jedni uważają naukową organizację za czynnik poprawy, inni oskarżają ją o przyczynianie się do powstania kryzysu.

Jakkolwiek zagadnienie to nie znajdowało się na programie zjazdu, ułożonym przed trzema laty, gdy kryzysu jeszcze nie było, to jednak zarówno z przemówień przy otwarciu zjazdu, jak i z obrad jego można wyciągnąć wniosek, iż naukowa organizacja, jako najskuteczniejsza metoda usuwania marnotrawstwa i obniżania kosztów produkcji, jest poza wszelką wątpliwością czynnikiem dobroczynnym poprawy zarówno podczas prosperacji, jak i podczas kryzysu. Jeżeli gdziekolwiek w życiu gospodarzem niema należytej równowagi i następują załamania niepożądane, — to raczej jest to winą niezastosowania metody naukowej organizacji w wielu jeszcze dziedzinach, niż z powodu jej stosowania. Zjazd nie powziął żadnych rezolucyj ogólnych, ani uchwał, gdyż te nie były jego celem. Głównym celem zjazdów naukowych organizacji jest pogłębienie wymiany myśli i doświadczeń drogą bezpośredniej dyskusji pomiędzy kompetentnymi i zainteresowanymi czynnikami. Już wydanie materiałów zgłoszonych na zjazd w formie 123 referatów stanowi znaczny dorobek, z którego szeroką ręką czerpać można wskazówki oparte na doświadczeniu znawców przedmiotu.

Jedyną decyzją Kongresu było wręczenie na uroczystym zebraniu najwyższej odznaki „*Plaque d'Or*” profesorowi Politechniki Warszawskiej i Dyrektorowi Instytutu Naukowej Organizacji w Warszawie Karolowi Adamieckiemu za prace jego od lat 30 na polu naukowej organizacji i za wybitne zasługi przez opracowanie metody harmonizacji, będącej obecnie wraz z metodą Taylora podstawą nauki organizacji. Dotychczas odznakę taką otrzymał jedynie profesor i uczonego francuski Le Chatelier na IV kongresie w Paryżu.

## SPRAWOZDANIE

### z działalności Stowarzyszenia dla Rozwoju Spawania i Cięcia Metali w Polsce za okres 1927 — 1931.

Z okazji Walnego Zgromadzenia Stowarzyszenia dla Rozwoju Spawania i Cięcia Metali w Polsce, które odbyło się w gmachu Stow. Techników w Warszawie w dn. 22 kwietnia r. b. Stowarzyszenie to ogłosiło drukiem sprawozdanie z 4-letniej działalności, w formie broszury obejmującej 60 stron druku.

Na wstępie przedstawiono genezę Stowarzyszenia, jego cele i zadania oraz podano skład Zarządu i Kierownictwa.

Samo sprawozdanie z działalności Stowarzyszenia obejmuje 7 rozdziałów, a mianowicie: 1) szkolnictwo, 2) działalność wydawniczą (czasopismo, książki, pomoce naukowe), 3) działalność odczytową, 4) współpracę z pokrewnymi instytucjami w kraju i zagranicą,

5) prace laboratoryjne, 6) prace nad prawodawstwem i 7) służbę informacyjną i doradczą.

W dziale szkolnictwa statystyka wykazuje 83 kursy spawania i cięcia przy udziale 2283 uczestników w czem 40 instruktorów szkół państwowych zawodowych, 245 inżynierów i techników i 1998 spawaczy. Szkoły Stowarzyszenia są wyposażone w liczne pomoce naukowe, jak filmy, tablice, przyrządy i t.p.

Czasopismo „Spawanie i Cięcie Metali”, które wychodzi od 1928 roku, stale daje przegląd wybitniejszych zastosowań spawania w przemyśle w Polsce i zagranicą, szerząc wiedzę o spawaniu w najodleglejszych zakątkach kraju.

Pozatem wydano następujące książki i podręczniki:

- 1) Dr. Alfred Sznerri i inż. Zygmunt Dobrowolski „Podręcznik Spawania i Cięcia Metali przy pomocy płomienia acetylenowo - tlenowego”. Tom I — Materiały i urządzenia. Tom II — Technika spawania.
- 2) Inż. Józef Biernacki i inż. Konstanty Nadolski „Podręcznik Spawacza”.
- 3) Inż. Piotr Tułacz „Spawanie i Cięcie Metali”.

Działalność odczytowa za rok 1931 wyraziła się w 24 odczytach, wygłoszonych przez prelegentów Stowarzyszenia na terenie ugrupowań technicznych całej Polski. Stowarzyszenie współpracuje również z pokrewnymi instytucjami innych krajów i organizacjami międzynarodowymi. Przedstawiciele Stowarzyszenia zasiadają w Międzynarodowej Komisji Acetyleny i Spawania w Paryżu i biorą udział w kongresach międzynarodowych, przyczyniając się tem samem do propagandy Polski na terenie obcym.

Pomimo skromnych funduszy Stowarzyszenie przy współudziale swych członków wykonało szereg prac doświadczalnych, a mianowicie: opracowanie testów do badań psychotechnicznych spawaczy (pierwsze prace tego rodzaju w świecie), badania wytrzymałościowe belek spawanych, próby nadlewania zużytych końców szyn i inne. Prace te były ogłoszone w miesięczniku *Spawanie i Cięcie Metali*.

W dziale ustawodawstwa przemysłowego i normalizacji Stowarzyszenia bierze czynny udział w pracach Komitetu Normalizacyjnego przy Min. Przemysłu i Handlu.

Stowarzyszenie udziela wszelkiego rodzaju informacji i porad fachowych naszemu przemysłowi, który tem łatwiej może korzystać z usług Stowarzyszenia, że porady te udziela Stowarzyszenie przeważnie bezpłatnie.

Jak wykazuje sprawozdanie finansowe, Stowarzyszenie utrzymuje się wyłącznie z subsydjów przemysłu i składek członkowskich, które w rachunku strat z zysków figurują w sumie zł. 58,015,76, — głównejsze wydatki stanowią koszta handlowe zł. 45,544,91, — Kursy zł. 4,249,05, — czasopismo zł. 8,637,05, — i wydawnictwa zł. 4,147,21, —.

Bilans za rok 1931 zamknięto sumą zł. 36,334,55, — wykazując zysk zł. 1,076,64, —.

Powyższe sprawozdanie wykazuje, iż pomimo ciężkiego kryzysu w kraju działalność Stowarzyszenia rozwija się bardzo pomyślnie.

T R E Ś Ć: *Wł. Rokitowski*, inż. Odbiór gwarancyjny turbiny parowej. — *T. Wróblewski*, inż. Odparowalność kotłów sekcyjnych. — *M. Dauter*, inż. Elektrownia o napędzie motorowym. — *H. Krakowiak*, inż. Odczynniki do aparatu Orsata. — *H. Krakowiak*, inż. O zawartości CO<sub>2</sub> + O<sub>2</sub> w gazach spalinowych. — PRZEGLĄD KSIĄŻEK. A. Rothert, prof. Organizacja gospodarki materiałowej w przemyśle i w handlu. — Z ŻYCIA STOWARZYSZENIA I ORGANIZACJI TECHNICZNYCH. Komunikat Polskiego Komitetu Normalizacyjnego. — Wybitne wyróżnienie prof. Karola Adamieckiego. — Sprawozdanie Stowarzyszenia dla Rozwoju Spawania i Cięcia Metali w Polsce.

S O M M A I R E: *Wł. Rokitowski*, ing. Essais de garantie d'un turbogénérateur. — *T. Wróblewski*, ing. L'évaporation des chaudières à sections. — *M. Dauter*, ing. Une centrale électrique à commande par un générateur Diesel. — *H. Krakowiak*, ing. Les reagents pour les analystes Orsat. — *H. Krakowiak*, ing. Le pourcentage de CO<sub>2</sub> + O<sub>2</sub> dans les gazes de combustion. — REVUE des LIVRES. Prof. LES SOCIÉTÉS et LES ORGANISATIONS TECHNIQUES. Le Communiqué du Comité de Normalisation de Pologne. — Une distinction exceptionnelle du prof. Karol Adamiecki. — Compte rendu de la Société pour l'encouragement de la Soudure et Coupeure de Metaux en Pologne.